

# 15. レーザ・レーダによる風向、風速の3次元的測定法の開発

竹内正夫 清水浩 安國善文 植田洋匡 奥田典夫  
国立公害研究所

## 1.はじめに

光化学スモークや大気のよこれどとの大気汚染が重要な日常問題となつてあり、それとともに、上空の風向、風速の測定が、重要な測定対象となる。

上空の風向、風速の測定は従来、鉄塔やハルーンなどをによつて行われて来た。しかし、これらの測定では極く限られた場所と時間におけるデータのみしか得ることが出来なかつた。レーザ・レーダはそれに比べ、遠隔測定にて離れた處から非接触的に実時間で全領域をカバーする方法として、大気汚染の測定に用いられることがしつつある。最近の高速繰返し Nd:YAG レーザの進歩やデータ処理の技術の進歩によつて3次元空間の分布と短時間で測定することが可能になつて来た。

ここではその一つの応用として、大気中のエアロソルや雲の動きから、コンピュータによるデータ処理によつて、風向、風速や局所的渦、拡散などを測定することができるこことを報告する。この方法は、従来、レーザ・レーダや粒子の伝達速度測定に用いられてきた、相関法に比べ、直接的で、計算時間が少なくて、また写真測定法に比べ、雲やエアロソルなどの試料までの距離や3次元的分布が正確に求まるので、極めて正確に測定出来るといふ長所がある。

## 2. 測定原理

第1図のように雲またはエアロソルの塊を考える。 $t=t_1$ の時刻に存在するエアロソルの塊は  $t_2$  の時刻には移動し、多少の変形をするとともに、全体として回転する。この2つの图形から重心の運動速度、回転

湿度、各部分の変形から拡散量を求めるのがこの測定法の目的である。

測定は、測定時間中に生成、消滅しない雲粒子エアロソルを選び、10秒程度でレーザー掃引を行う。この掃引は繰返し行なう。レーザー反射信号はトランシーバー、レコニア、ディジタル化され、ミニコンピュータで制御され、マスクネットワーク・テープ(MT)に平面掃引毎に、1データ・フレームとして記録する。MTのデータは大型コンピュータに移され、次の(i)～(viii)の前処理を経て、(vi)以下の解析を行なう。

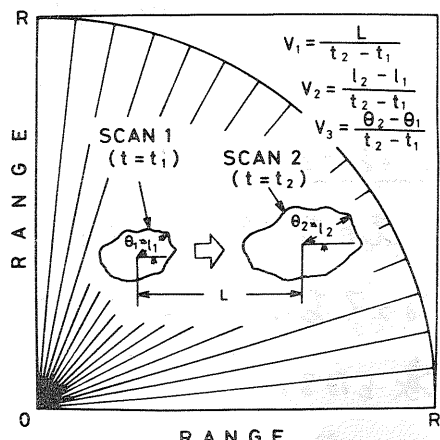


Fig 1 風向、風速測定装置の原理図

- i) 各レーザー反射信号毎に距離補正を行なう。
- ii) 極座標から直角座標に変換する。
- iii) 直角座標のメッシュ・ポイントを一様にするために、テープが雲の部分は平均とし、テープの疏の部分は隣接のデータを内挿する。
- iv) フィルタリングを行って速い変動成分を取り除く。
- v) エッジ・シャーピングの方法によって雲の境界をはっきりさせ、その周囲をゼロとする。
- vi) 各平面掃引毎の重心の座標を求める。重心の座標の移動から各時間间隔毎の雲の(マニサンブル)平均速度を求める。
- vii) 各平面掃引の表示で、雲の重心を合わせて雲の面を回転させて相因をとり、その最大値から回転角を定める。これによつて雲の湿度を求める。
- viii) 回転角を求めた後、雲に固有の座標に沿つて雲を等分割して

す：NO<sub>2</sub>が一様分布している場合、1kmの距離に対するNO<sub>2</sub>の濃度に対する各条件で必要なレーザー・パルス数をFig. 6に示す。同図において距離分解能120m、誤差10%の場合、1ppmの濃度では10発程度、0.1ppmでは200発程度のレーザー・パルスで測定が可能である。また誤差50%では10ppbまで測定するのに500パルス程度のレーザー・パルスで測定が可能である。

以上の計算は用いた1ppmの濃度は環境基準を上回る値であるが、排出源近くの数100mの範囲においては通常観測される値であり、この範囲の濃度の均一分布を遠隔的に測定することには大きな意義がある。

一般的の環境条件下で観測されるNO<sub>2</sub>濃度は高くなると0.12ppm程度であるか。Fig. 6の結果から精度10%、距離分解能120mで約100発程度で1km程度の測定が可能である。さらに自然界に污染とは関係なく存在する濃度は0.02ppm程度であるか、測定精度と距離分解能を多少犠牲にすれば実用的自体に十分測定可能である。

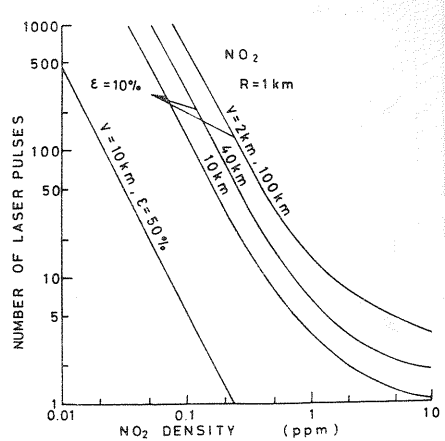


Fig. 6 NO<sub>2</sub>濃度に対する  
測定に必要なレーザー・パルス  
数 (R=1 km)

4. まとめ 本文ではDAS方式によるNO<sub>2</sub>の遠隔的測定法について理論的に検討を行った。結論、DAS方式は排出源付近での濃度分布の測定には十分実用的に使用が可能であると判断される。これは環境規制濃度付近でも測定時間は長くならない限り測定可能であることが判明した。これよりDAS方式は十分実用的な使用が可能であることが結論された。従って今後、レーザー・技術の進歩とともにこの方式が、各方面で使用されるであろう。

は空しく。

$$T = (5/3.91) (550/\lambda) ^{0.58} \tau^{4/3} \quad (5)$$

$$\beta = \sigma/100 \quad (6)$$

計算は Fig. 2 に示す 3 つの状態につれて行った。すなはち、Case 1 は  $1 \text{ ppm}$  の  $\text{NO}_2$  が空間的に等濃度で存在する場合である。Case 2 は  $0.1 \text{ ppm}$  の等濃度で  $10 \text{ km}$  距離  $R$  の半径  $L$  の厚さで  $1 \text{ ppm}$  の濃度で存在する場合である。

Case 1 より Case 2 について、条件を距離分解能  $120 \text{ m}$ 、誤差  $10\%$  として到達距離に対する必要レーザー・パルス数を求めたのが、Fig. 3 および Fig. 4

である。両図はともにパラメータ  $M$  を複数つけてある。

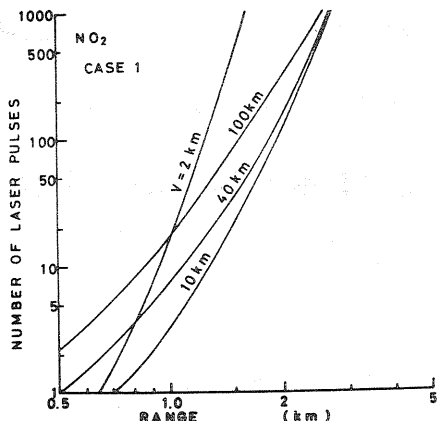


Fig. 3 Case 1 状態での測定誤差。

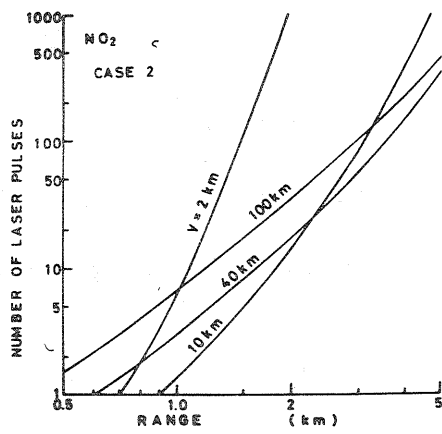


Fig. 4 Case 2 状態での測定誤差

極端に複雑の悪い条件下なければ、10 発程度のレーザー・パルスで約  $1 \text{ km}$  までの測定が可能であることが認められる。到達距離は複雑に大きく依存する。この複雑性を見るために Case 1 について  $120 \text{ m}$  の距離分解能および  $10\%$  の測定誤差の条件下複雑に対する最大到達距離を計算してみる。Fig. 5 である。

Table 1 レーザー・レーダー・システム性能

レーザー (7 ワットランプ起色系レーザー)	
最大出力	50 mJ / pulse
最大繰返し	0.5 PPS
望遠鏡 口径 30 cm カセクレン式	
信号処理方式	高速 A/D 変換方式

CASE I (uniform distribution) CASE II (patched distr.)

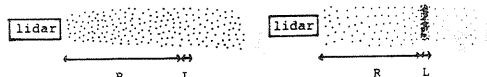


Fig. 2 汚染物質分布状態の模式図

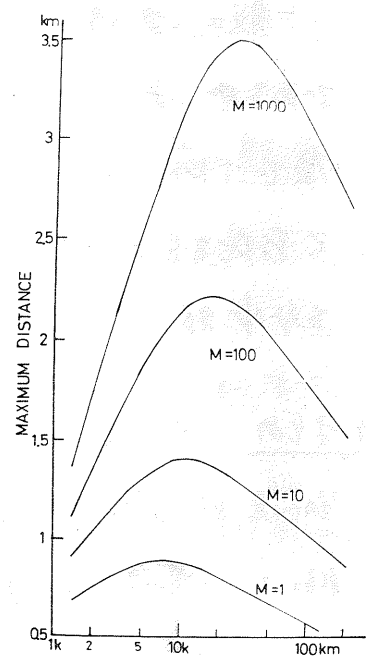


Fig. 5 Case 1 に対する最大到達距離